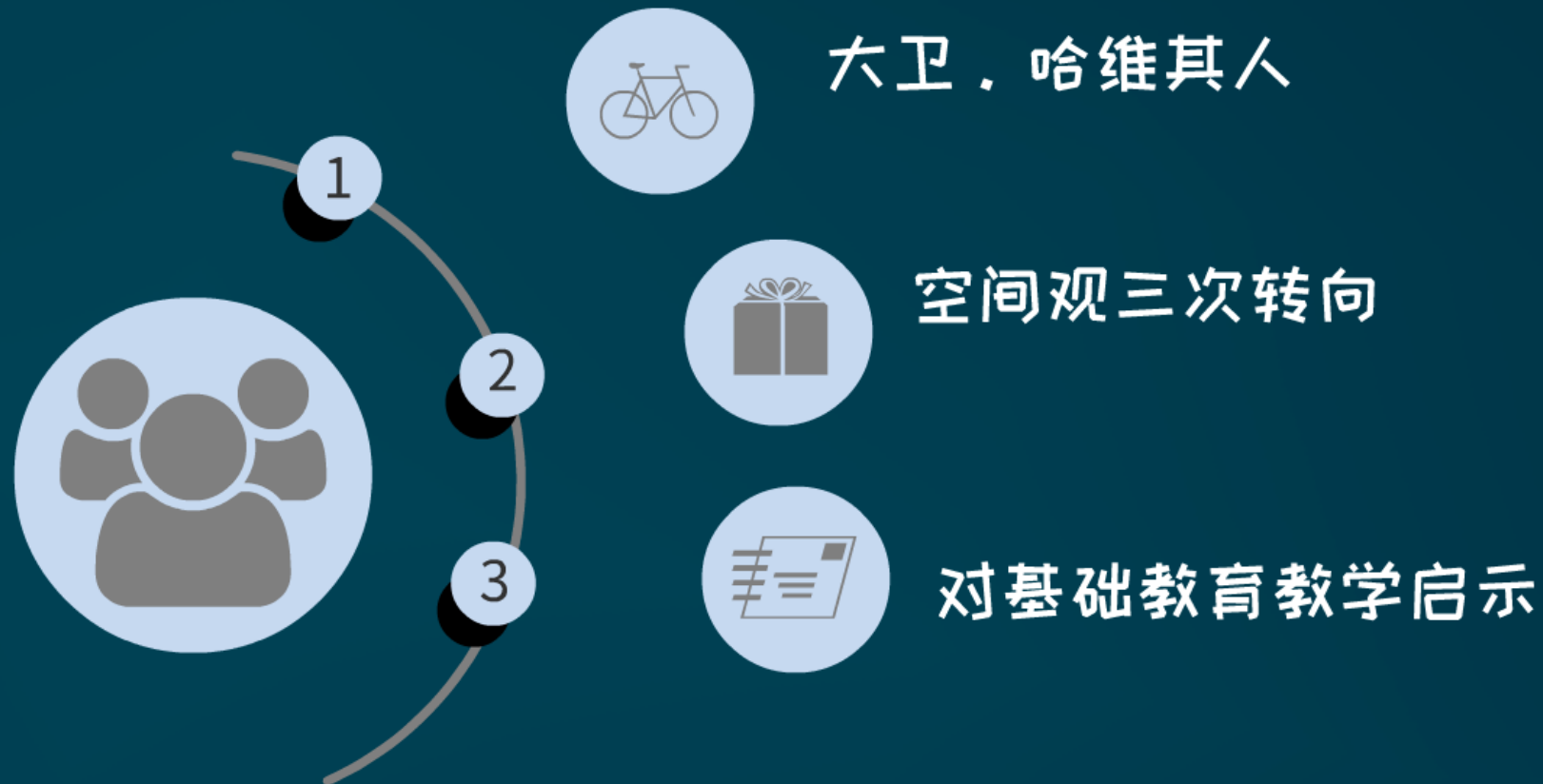




哈维的空间观转向 对地理基础教育的启示

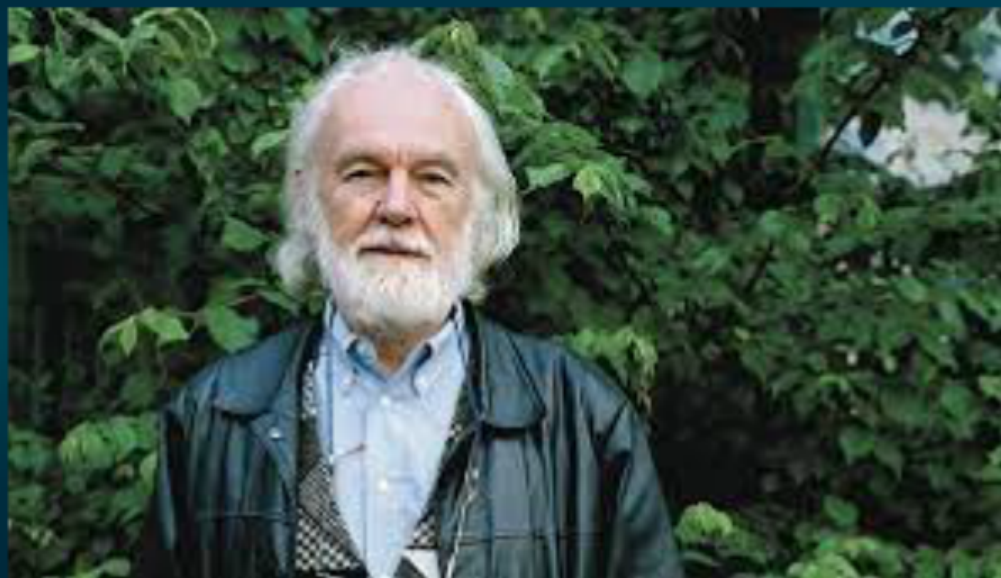
北京.张艳凤



一、大卫哈维

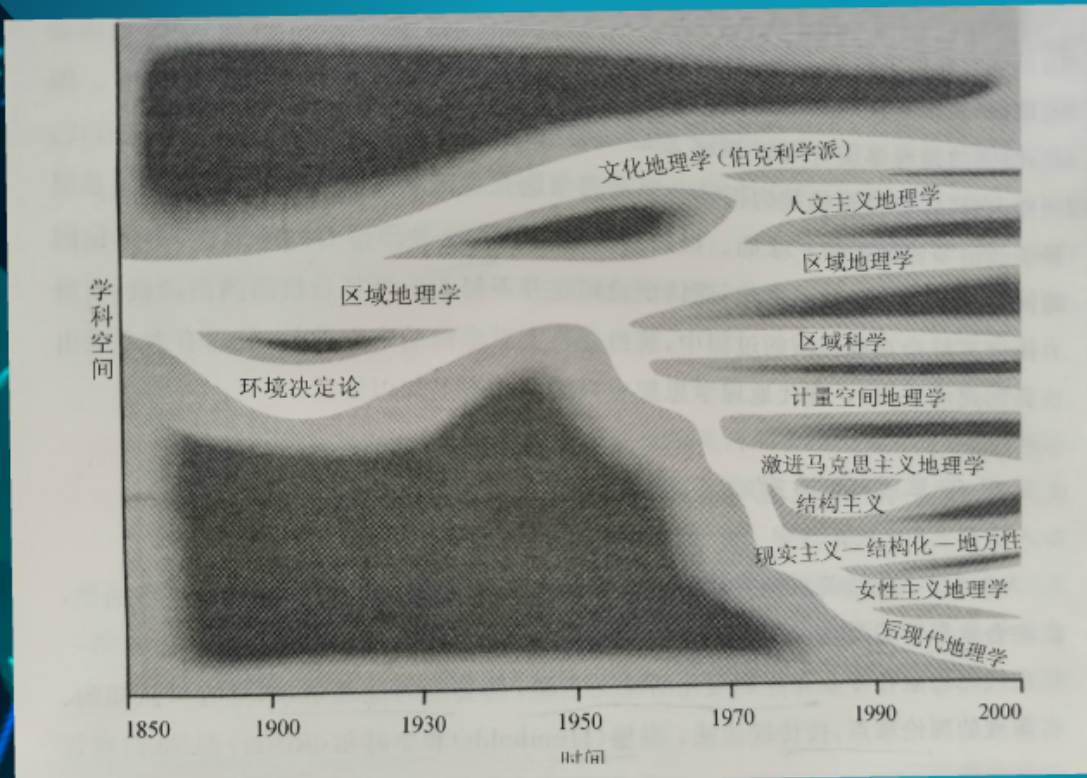
1935年 英国

社会学、人类学、政治经济学等方面，均有杰出声誉

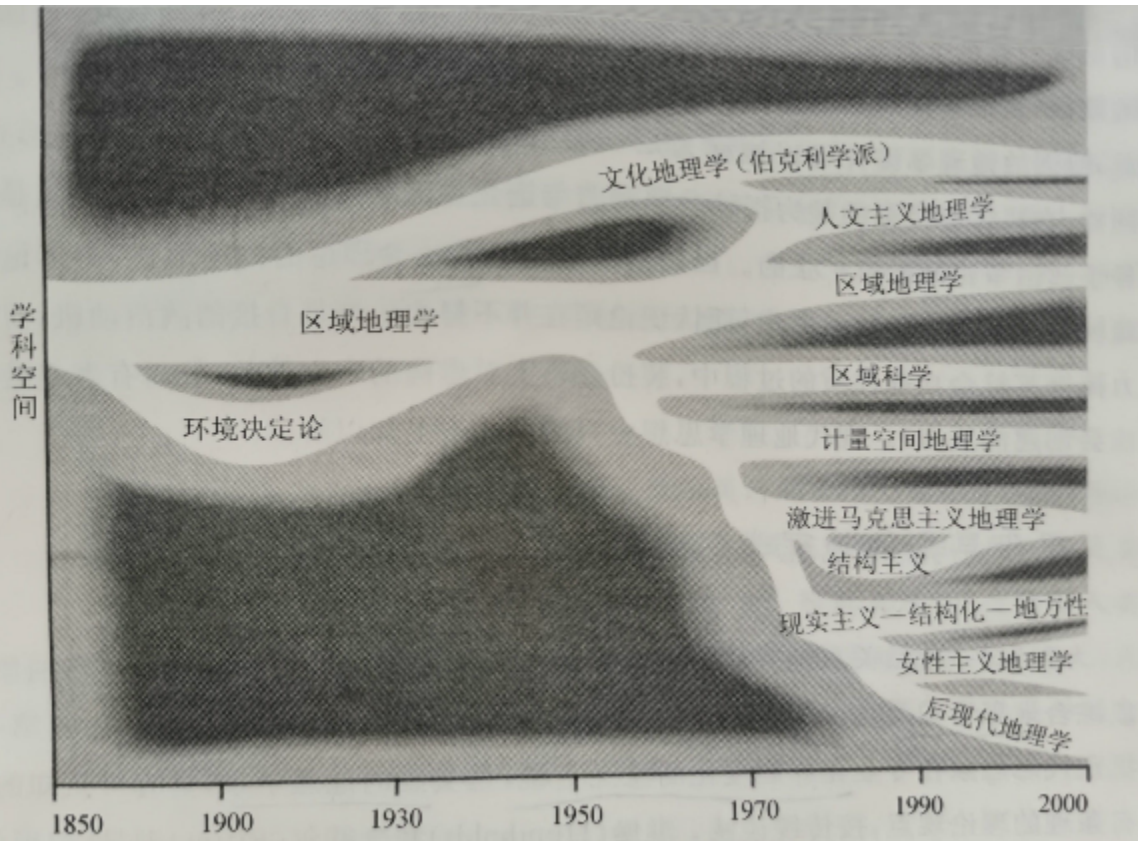


地理学家

二 空间观三次转向——学术背景



近现代地理学科思想演变发展
引自理查德皮特《现代地理学思想》



二、空间观三次转向



三、教学启示

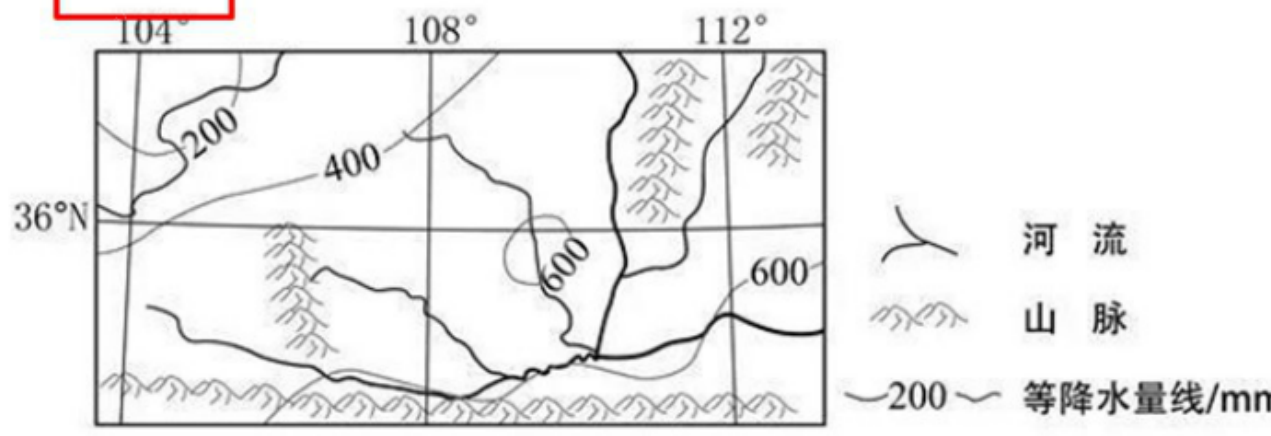


地球复杂巨系统



(2018年·海南) 阅读图文资料, 完成下列要求。 ↵

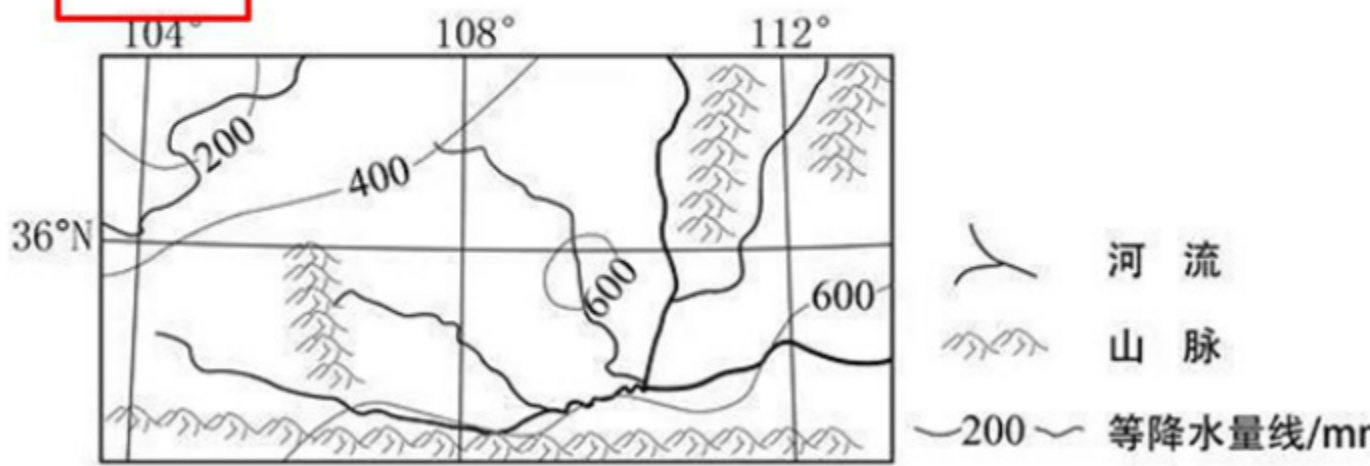
20世纪70年代以来, 我国对图6所示区域的水土流失进行了大规模治理, 重点实施了退耕还林(草)等生物治理措施。在年降水量大于400毫米的地区, 林草植被得到较好恢复。在年降水量小于400毫米的地区(地表1米以下一般存在含水量极低的干土层), 人工连片种植的树木普遍生长不良, 树干弯曲, 根基不稳, 枝叶稀疏, 总也长不大, 被当地人称为“小老头树”。 ↵



- (1) 分析在降水量400毫米以下区域植树造林对生态环境造成的不良结果。(8分) ↵

(2018年·海南) 阅读图文资料, 完成下列要求。

20世纪70年代以来, 我国对图6所示区域的水土流失进行了大规模治理, 重点实施了退耕还林(草)等生物治理措施。在年降水量大于400毫米的地区, 林草植被得到较好恢复。在年降水量小于400毫米的地区(地表1米以下一般存在含水量极低的干土层), 人工连片种植的树木普遍生长不良, 树干弯曲, 根基不稳, 枝叶稀疏, 总也长不大, 被当地人称为“小老头树”。

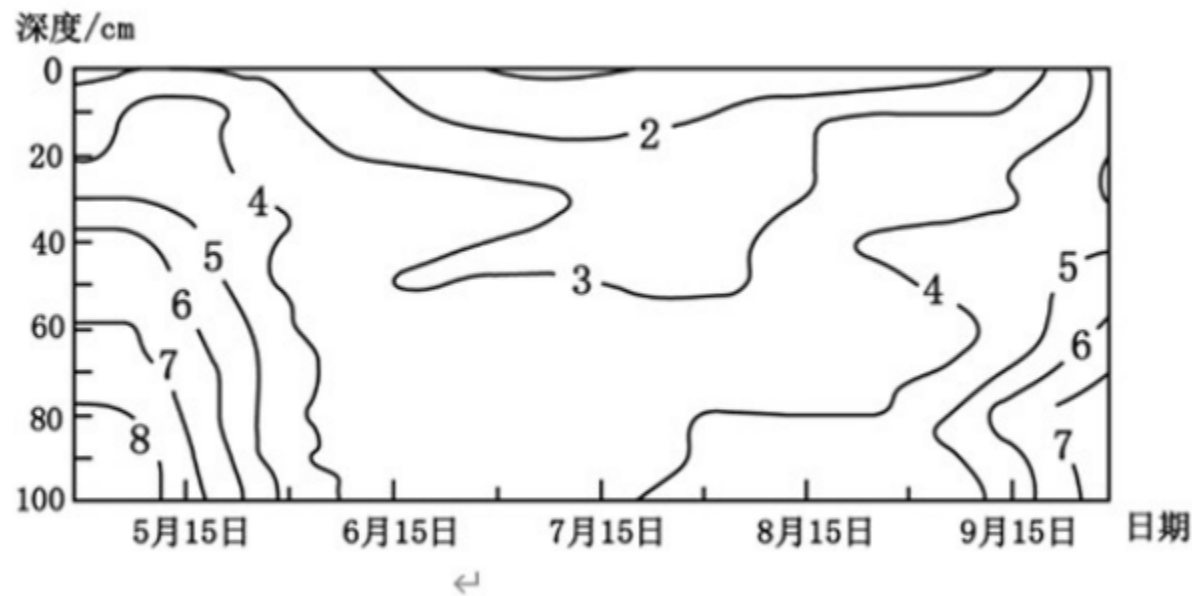


- (1) 分析在降水量400毫米以下区域植树造林对生态环境造成的不良结果。(8分)



地球复杂巨系统

(2016年·海南卷)下图示意一固定沙丘某年5~9月土壤水分含量(%)随深度的变化。该沙丘位于毛乌素沙漠的南缘，无人为扰动，多年保持稳定。据此完成12题。



12. 为维护生态安全，毛乌素沙漠的南缘适合

- A. 植树
- B. 种草
- C. 栽灌木
- D. 自然演化

D



地球复杂巨系统

(2018·全国2卷)地处黄土高原的汾川河流域多年来植被覆盖率大幅度提高。2013年7月,汾川河流域降水异常增多,表1为当月6次降水过程的时长、降水量和汾川河洪峰情况。第5次降水形成的洪水含沙量低,第6次降水形成的洪水含沙量极高。据此完成下面小题。

表1

降水序号	降水历时(天)	降水量/mm	汾川河洪峰情况
1	2	53.0	无明显洪峰
2	4	80.3	无明显洪峰
3	5	100.1	无明显洪峰
4	2	73.2	无明显洪峰
5	2	90.7	洪峰流量 $346m^3/s$
6	2	54.4	洪峰流量 $1750m^3/s$

1. 第6次降水产生的洪水含沙量极高,其泥沙主要源于
- A. 河床
 - B. 沟谷
 - C. 裸露坡面
 - D. 植被覆盖坡面

D

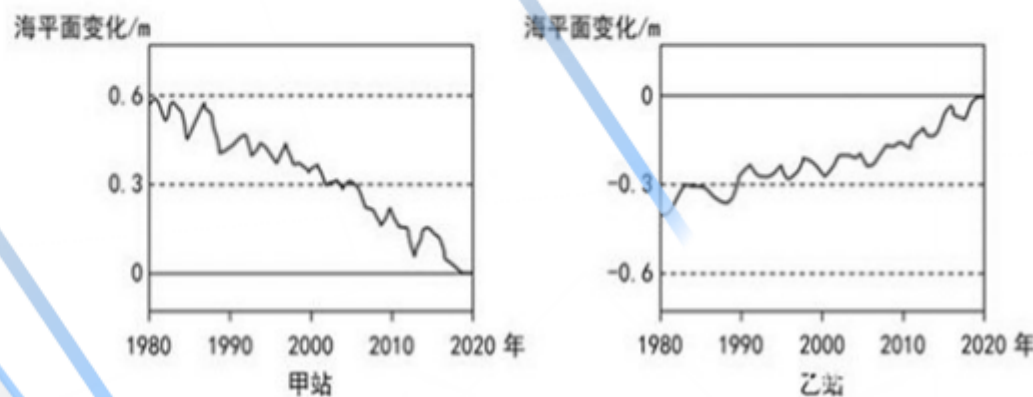


地球复杂巨系统

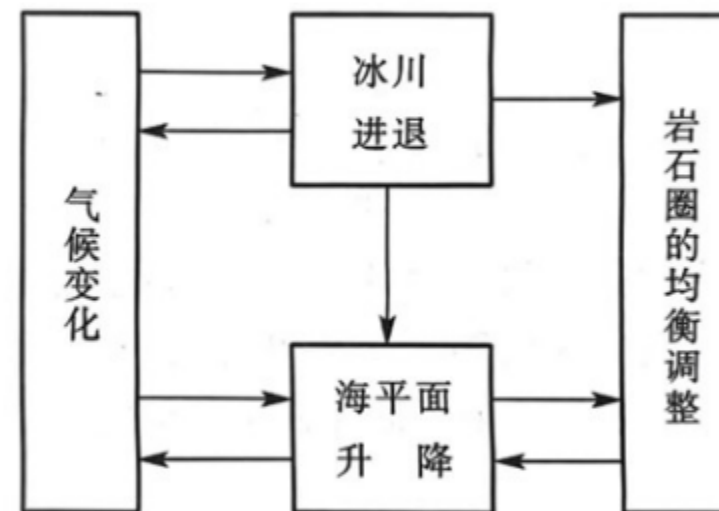


(2022年全国乙卷)影响海岸线位置的因素，既有全球尺度因素，如海平面升降，又有区域尺度因素，如泥沙沉积、地壳运动、人类活动等导致的陆面升降。最新研究表明，冰盖消融形成的消融区内，冰盖重力导致的岩层形变缓慢恢复，持续影响着该范围的海岸线位置。距今约1.8万年，北美冰盖开始消融，形成广大消融区。下图显示甲（位于太平洋北岸阿拉斯加的基岩海岸区）、乙（位于墨西哥湾密西西比河的河口三角洲）两站监测的海平面的相对变化。海平面的相对变化是陆面和海平面共同变化的结果。

- (1) 分别指出冰盖消融导致的海平面、消融区陆面的垂直变化，并说明两者共同导致的海岸线水平变化方向。
- (2) 根据地理位置，分析甲站陆面垂直变化的原因。
- (3) 说明导致乙站所在区域海岸线变化的主要人为影响方式。
- (4) 分析甲站区域与乙站区域海岸线水平变化的方向和幅度的差异。

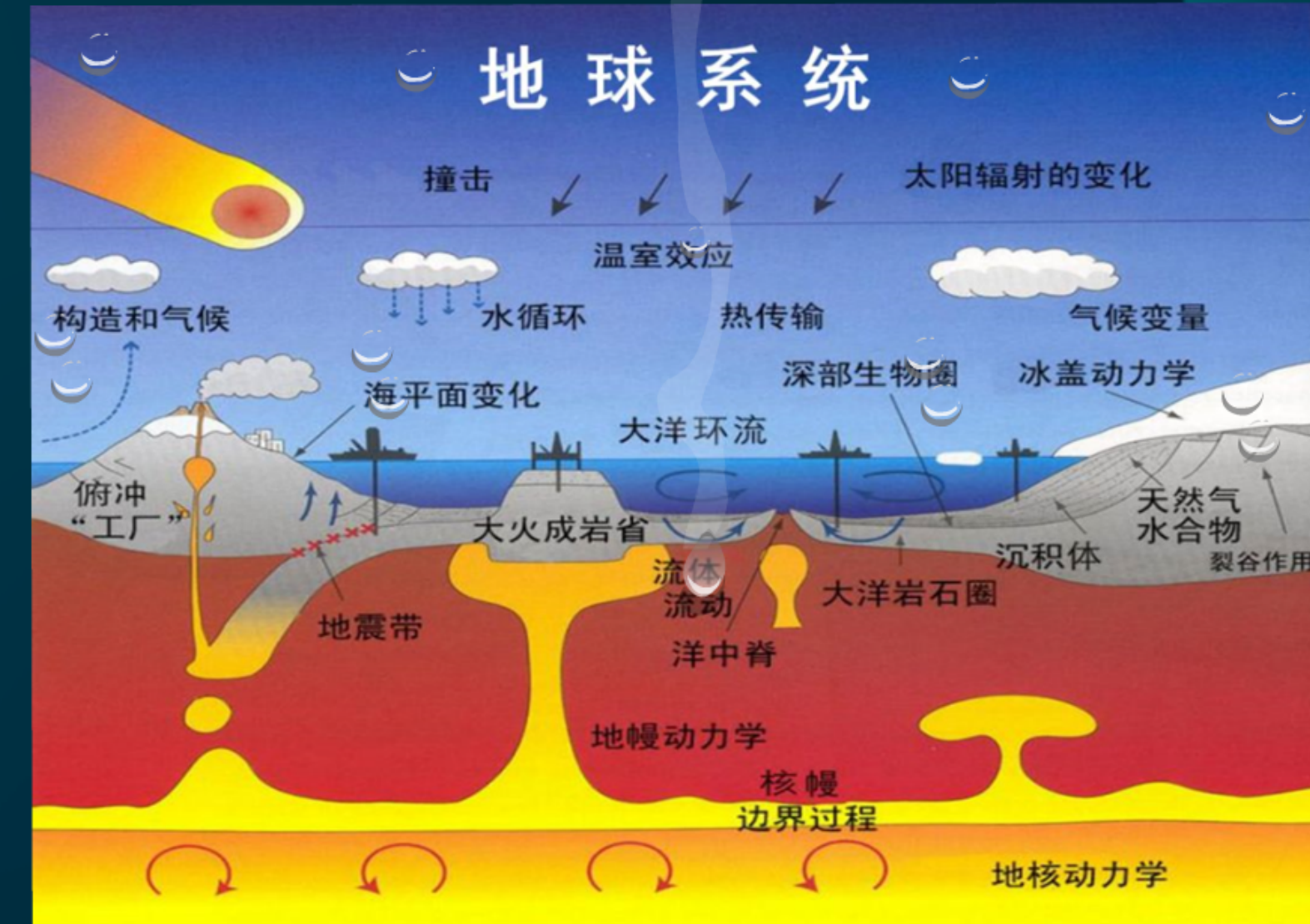


地球复杂巨系统



厄尔尼诺 拉尼娜 出现的时间规律

三 教学启示



教材内容的变化

 试题概况

解题思路

教学启示

试题背景



位于日本海附近的珲春与内陆的辽源各日最高气温时刻(北京时间)的月均值不同(表1)。规定各日最高气温时刻与月均值相差超过1小时为偏高。据此完成9~11题。

10. 珲春的最高气温时刻月均值滞后当地正午的时间长于辽源,原因是珲春

B

- A.降水多 B.受海洋影响强 C.风力强 D.受山地影响强

11. 辽源冬季偏高天数少,说明辽源冬季多

C

- A.雨雪天气 B.温带气旋 C.晴朗天气 D.冷锋过境

气象台站	经度	纬度	1月各日最高气温时刻均值	1月偏离天数/天	7月各日最高气温时刻均值	7月偏离天数/天
珲春	130.35° E	42.86° N	约14时00分	20.8	约14时40分	19.6
辽源	125.15° E	42.90° N	约13时20分	14.4	约13时50分	17.2



试题概况

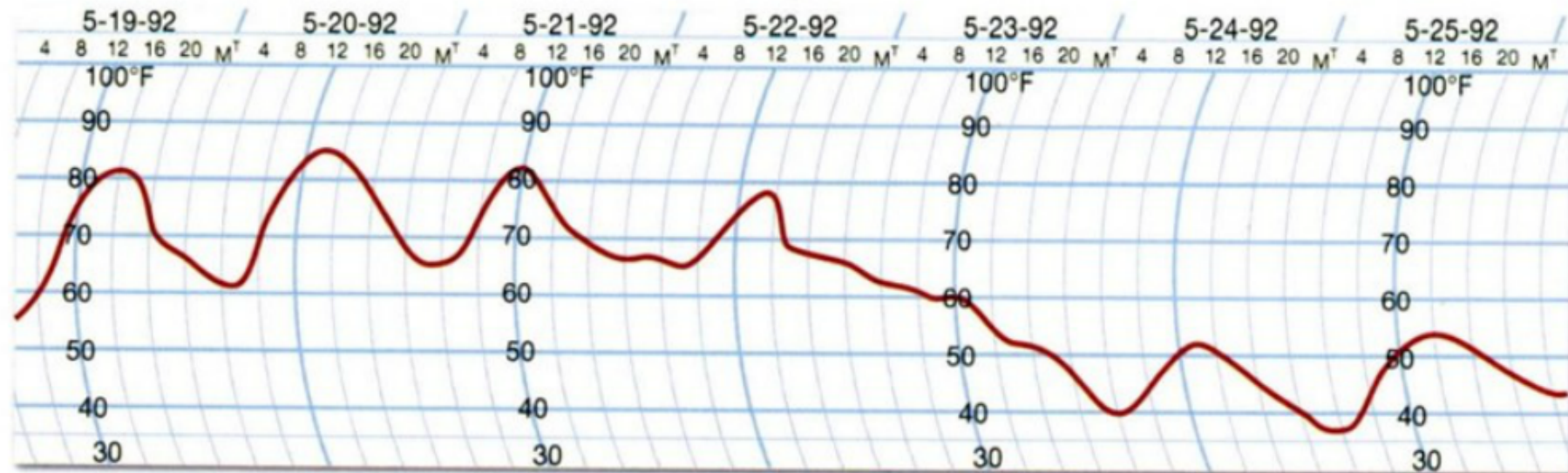
解题思路

教学启示

试题背景



下垫面不同（海陆）：反馈差异、演化过程差异、人地关系



▲图 3.21 美国伊利诺伊州皮奥里亚 1992 年 5 月连续 7 天的温度值，具有典型的周期性日变化过程，最低温度通常出现在日出前后，最高温度出现在正午到午后之间。唯一的例外是 5 月 23 日，凌晨的温度最高，全天的气温持续下降



试题概况

解题思路

教学启示

试题背景



位于日本海附近的珲春与内陆的辽源各日最高气温时刻(北京时间)的月均值不同(表1)。规定各日最高气温时刻与月均值相差超过1小时为偏高。据此完成9~11题。

C

气象台站	经度	纬度	1月各日最高气温 时刻均值	1月偏离天 数/天	7月各日最高气 温时刻均值	7月偏离 天数/天
珲春	130.35° E	42.86° N	约14时00分	20.8	约14时40分	19.6
辽源	125.15° E	42.90° N	约13时20分	14.4	约13时50分	17.2

表格隐含的信息：

当地最高气温(地方时)：珲春1月：**13: 20** 7月：**14: 00**
辽源1月：**13: 00** 7月：**13: 30**

时空综合

结论1. 当地最高气温地方时：并非理论上的14: 00

结论2. 同一空间时间差异：最高气温地方时：珲春、辽源 1月达到最高气温时间更短

结论3. 同一时间空间差异：最高气温差异：珲春辽源 7月 1月最高温存在的差异 (7月份珲春滞后时间更长)

敬请批评指正

北京张艳凤

哈维的空间观转向
对地理基础教育的启示

北京.张艳凤

一、大卫哈维
1955年，英国
社会学、人类学、政治经济学等方面，均有杰出声誉



地理学家



西
部